

деленности, как правило, не представляют интереса, так как практически обычно нужно знать абсолютную величину разности фаз в двух точках.

Итак, при выяснении закона изменения фазы волны при помощи сравнения карт, возникающих при использовании методов темного поля и фазового контраста, следует выяснить ход зависимости $\alpha(x, y)$ в тех точках, в которых $\alpha = m\pi$, либо в тех, где $\alpha = m\pi - \pi/4$. Для определения хода зависимости $\alpha(x, y)$ в других точках достаточно одного из этих методов.

В заключение заметим, что в случае, когда фаза изменяется на 2π в интервале, соизмеримом с пространственным разрешением темнового прибора, целесообразно для диагностики использовать метод двухдлиноволновой голографической интерферометрии [2], который позволяет при соответствующем выборе длии волн получать достаточно большие расстояния между линиями равной интенсивности в интерферограмме при «быстром» изменении фазы волны после неоднородности.

При этом, правда, по-прежнему остается проблема неоднозначности при расшифровке интерферограмм, но она легко разрешима. Один из способов ликвидации неоднозначности — повторное использование метода двухдлиноволновой голографической интерферометрии на других длинах волн.

ЛИТЕРАТУРА

1. Немтипов В. Б., Рожков О. В. Методы воспроизведения фазово-оптических записей.— В кн.: Способы записи информации на бессеребряных носителях. М.: Высп. школа, 1977, вып. 8, с. 24—36.
2. Де С. Т., Казачок А. Г., Логинов А. В., Солодкин Ю. И. Измерение параметров рельефа поверхностей методом двухдлиноволновой голографической интерферометрии.— В кн.: Голографические измерительные системы. Сб. науч. трудов/Под ред. А. Г. Козачка. Новосибирск: изд. НЭТИ, 1976.

Поступило в редакцию 25 января 1980 г.;
окончательный вариант — 13 января 1981 г.

УДК 681.325.088.8

О. Г. СМОРЫГО
(Ярославль)

СТРУКТУРА АНАЛОГО-ЦИФРОВЫХ ПРЕОБРАЗОВАТЕЛЕЙ НА ПРИБОРАХ С ЗАРЯДОВОЙ СВЯЗЬЮ

Широкое распространение цифровых измерительных приборов на интегральных схемах требует создания экономичных по потребляемой энергии и дешевых интегральных аналого-цифровых преобразователей, которые в настоящее время являются наиболее дорогими и потребляющими значительную мощность узлами в системах обработки информации [1]. Одно из перспективных направлений с точки зрения создания экономичных АЦП — разработка преобразователей на основе приборов с зарядовой связью (ПЗС) [2].

При построении кодирующих преобразователей на ПЗС могут быть реализованы все основные арифметические операции, проводимые над преобразуемыми и эталонными сигналами, однако точность и быстрота их реализации неравнозначны. Наиболее точно могут быть выполнены операции суммирования и деления зарядов [3]. Операции вычитания и умножения на множитель больше единицы связаны с промежуточным преобразованием информационных зарядов в разность потенциалов, поэтому точность их реализации ниже. Низкая точность операций вычитания и умножения обуславливает необходимость проектирования АЦП на ПЗС преимущественно на основе алгоритмов, использующих только операции сложения и деления. В силу этого наиболее эффективным следует считать метод кодирования, который можно охарактеризовать как симметричный или дифференциальный. Если при симметричном кодировании используется операция суммирования, то осуществляется линейное анало-цифровое преобразование сигнала $Q_{\text{пр}}$ в пропорциональный позиционный двоичный код $a_1 a_2 \dots a_n$ в соответствии со следующими соотношениями:

$$Q_{\text{пр}} + \sum_{i=1}^{n-1} \bar{a}_i 2^{-(i+1)} Q_s = 2^{-1} Q_s + \sum_{i=1}^{n-1} a_i 2^{-(i+1)} Q_s + \Delta Q_n, \quad (1)$$

$Q_s = Q_{\text{пр max}}$, $|\Delta Q_n| \leq 2^{-n} Q_s$, $\bar{a}_i = 1 - a_i$, $a_i = 0, 1$, $i = 1, 2, \dots, n$.

Здесь n — число двоичных разрядов АЦП; $Q_{\text{пр max}}$ — максимальный преобразуемый аналоговый сигнал; ΔQ_n — сигнал, соответствующий погрешности преобразования; a_i, \bar{a}_i — разрядные значения прямого и обратного позиционного двоичного кодов соответственно, вырабатываемые на i -м этапе сравнения сигналов. Если при симметричном кодировании используется операция деления, то осуществляется функциональное (логарифмическое) преобразование аналогового сигнала в позиционный двоичный код в соответствии с

$$\left(\prod_{i=1}^{n-1} M^{a_i 2^{n-i-1}} \right) Q_{\text{пр}} = \left(M^{2^{n-1}} M^{\delta_n} \prod_{i=1}^{n-1} M^{\bar{a}_i 2^{n-i-1}} \right) Q_{\text{пр max}}, \quad (2)$$

$$\lg_M(Q_{\text{пр min}}/Q_{\text{пр max}}) = 2^n, M < 1, |\delta_n| \leq 1,$$

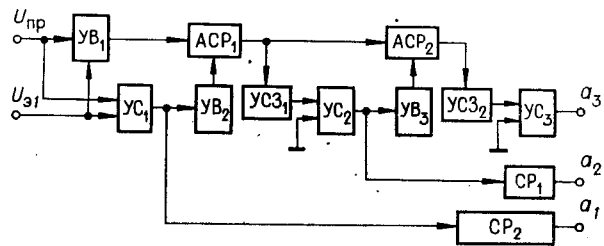
где $Q_{\text{пр min}}$ — минимальный преобразуемый аналоговый сигнал, δ_n — погрешность преобразования.

К схемотехническим особенностям построения АЦП на ПЗС можно отнести некоторые общие положения, вытекающие из детального анализа структур, которые представляют интерес для практической реализации в виде монолитных интегральных схем [4]. Во-первых, процесс преобразования должен быть конвейерным, так как последовательный сдвиг зарядов является основным режимом работы ПЗС. Во-вторых, для повышения точности преобразования необходимо выполнение следующих основных требований при разработке преобразователей: а) в процессе преобразования сравниваемые заряды должны последовательно переноситься друг за другом вдоль общего канала переноса зарядов; б) необходимо осуществлять считывание зарядов для их сравнения только в одном общем считающем устройстве.

Соотношения (1) и (2), описывающие симметричное аналого-цифровое преобразование, могут быть реализованы в АЦП, структурная схема которого для трех двоичных разрядов приведена на рисунке, где УС — устройство сравнения, СР — сдвиговый регистр, АСР — аналоговый сдвиговый регистр, УВ — устройства выборки и формирования сравниваемых зарядов, УСЗ — устройство считывания зарядов, $U_{\text{з1}}$ — эталонный сигнал старшего первого разряда, величина которого для линейного и функционального преобразователей равна соответственно $U_{\text{з1}} = 2^{-1} U_{\text{пр max}}$, $U_{\text{з1}} = -M^{2^{n-1}} U_{\text{пр max}}$. В приведенной структурной схеме отражены основные схемотехнические требования к построению АЦП на ПЗС. Во-первых, преобразуемый $U_{\text{пр}}$ и эталонный $U_{\text{з1}}$ сигналы с помощью устройства выборки УВ₁ поочередно преобразуются в пропорциональные порции заряда, которые последовательно переносятся вдоль общих аналоговых сдвиговых регистров АСР₁, АСР₂. Во-вторых, сравниваемые зарядычитываются с помощью одних и тех же устройств считывания заряда УСЗ₁, УСЗ₂, на выходе которых формируется сигнал, пропорциональный разности сравниваемых зарядов [5].

Процесс симметричного линейного аналого-цифрового преобразования (1) происходит следующим образом. Формирование кода начинается со сравнения преобразуемого сигнала $U_{\text{пр}}$ с первым эталонным сигналом $U_{\text{з1}}$. Если преобразуемый сигнал больше первого эталонного, то вырабатывается значение кода старшего разряда $a_1 = 1$ и следующий эталонный сигнал (заряд) с помощью устройства выборки УВ₂ добавляется к первому. Если преобразуемый сигнал меньше первого эталонного, то вырабатывается значение кода старшего разряда $a_1 = 0$ и следующий (второй) эталонный сигнал (заряд) добавляется к преобразуемому сигналу. Следовательно, каждый очередной эталонный заряд добавляется к меньшему из сравниваемых зарядов. Процесс симметричного аналого-цифрового преобразования с функциональной зависимостью выходного кода от преобразуемого сигнала (2) отличается от линейного (1) тем, что устройства выборки УВ₂, УВ₃ осуществляют деление большего из сравниваемых зарядов. Сдвиговые регистры СР₁, СР₂ служат для задержки цифровых сигналов $a_1 a_2$, чтобы на выходе преобразователя одновременно появлялся параллельный код $a_1 a_2 a_3$, соответствующий заданной выборке преобразуемого сигнала. Применение сдвиговых регистров позволяет также уменьшить в n раз время квантования (выборки) преобразуемого сигнала по сравнению со временем преобразования.

Таким образом, основой АЦП на ПЗС является структурная схема, реализующая алгоритм симметричного преобразования и состоящая из аналогового регистра с последовательно-параллельной организацией, $n - 1$ регистров сдвига цифровых сигналов и n устройств сравнения.



ЛИТЕРАТУРА

1. Интегральные схемы АЦП и ЦАП/Под ред. Л. М. Лукьянова.— М.: Энергия, 1978.
2. Сморыго О. Г. О возможности построения быстродействующего микромощного АЦП на основе использования ПЗС.— В кн.: Ядерная электроника/Под ред. Т. М. Агаханяна.— М.: Атомиздат, 1979, вып. 10, с. 45—49.
3. Носов Ю. Р., Шилин В. А. Полупроводниковые приборы с зарядовой связью.— М.: Сов. радио, 1976.
4. Сморыго О. Г. Метод повышения точности АЦП на ПЗС.— В кн.: Ядерная электроника/Под ред. Т. М. Агаханяна.— М.: Атомиздат, 1980, вып. 11, с. 15—18.
5. Terman L. M., Jee J. S. High Sensitivity Charge Comparator for Sensing and Comparing Very Small Charge Packets.— IBM Technical Disclosure Bulletin, 1978, vol. 21, N 3, p. 1262—1263.

*Поступило в редакцию 4 февраля 1980 г.;
окончательный вариант — 12 ноября 1980 г.*

УДК 621.396

Е. А. КОПЫЛОВ, Ю. В. МАРЧУК
(Новосибирск)

ДИСКРЕТНЫЙ ФАЗОВРАЩАТЕЛЬ МЕТРОВОГО ДИАПАЗОНА С ЭЛЕКТРИЧЕСКИМ УПРАВЛЕНИЕМ

Управляемые фазовращатели находят широкое применение в автоматизированных радиоэлектронных системах [1]. Однако на метровых волнах фазосдвигающие линии, используемые в диапазоне СВЧ, становятся велики по размерам, а цепи с со- средоточенными элементами технически трудновыполнимыми. В настоящей работе показана возможность создания малогабаритного фазовращателя с диапазоном изменения фазы 360° и дискретностью 90° на основе бифилярной спиральной линии. Такие линии использовались ранее для целей симметрирования [2], деления мощности [3] и согласования импедансов в широкой полосе частот [4].

Для пояснения принципа действия фазосдвигающей цепи рассмотрим схему, приведенную на рис. 1. Двухпроводная линия длиной S_0 , образованная парой свитых проводов 1 и 2, наматывается в виде спирали на ферритовый сердечник, имеющий форму цилиндра или тора. По отношению к заземленной плоскости спираль может быть представлена как две несимметричные спиральные линии длиной S_0 , образованные из проводов 1 и 2 и имеющие между собой электромагнитную связь [2, 3]. В такой системе могут распространяться независимо два типа волн: синфазный и противофазный. Поле синфазной волны локализовано в пространстве между спиралью и заземленной плоскостью, токи в проводах 1 и 2 одинаково направлены и равны по величине, длина линии с синфазной волной равна длине спирали S_0 . Противофазная волна характеризуется равными и противоположными направлениями токами, вследствие чего электромагнитное поле этого типа сосредоточено в малом пространстве между проводами витой линии и слабо взаимодействует с материалом сердечника. Воспользуемся далее результатами работы [2], в которой методом суперпозиции найдены токи в проводах линии, и запишем выражения для выходного напряжения U_R и входной проводимости Y_{bx} :

$$U_R = E(R/4W_0 \sin \alpha l_0 - R/W_n \sin \alpha l_n) [i + R(1/4W_0 \operatorname{tg} \alpha l_0 + 1/W_n \operatorname{tg} \alpha l_n)]^{-1}, \quad (1)$$

$$Y_{bx} = (1/4iW_0 \operatorname{tg} \alpha l_0 + 1/iW_n \operatorname{tg} \alpha l_n) - [R(1/4iW_0 \sin \alpha l_0 + 1/iW_n \sin \alpha l_n)^2 / (1 + R(1/4iW_0 \operatorname{tg} \alpha l_0 + 1/iW_n \operatorname{tg} \alpha l_n))], \quad (2)$$

где E — напряжение источника входного сигнала, фаза которого условно принята за нуль; $\alpha = \omega/c$ (ω — частота, c — скорость света); W_0 — волновое сопротивление линии на синфазном типе волны; W_n — волновое сопротивление линии на противофазном типе волны.

В дальнейшем нам потребуются следующие соотношения:

$$W_0 = \sqrt{L_0/C_0}, \quad l_0 = S_0 c \sqrt{L_0 C_0}; \quad (3)$$

$$W_n = \sqrt{L_n/C_n}, \quad l_n = S_n c \sqrt{L_n C_n}. \quad (4)$$

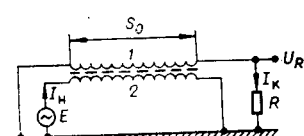


Рис. 1. Схема фазосдвигающей цепи.